

УДК 532.545

О ВЛИЯНИИ ТУРБУЛЕНТНОЙ ВЯЗКОСТИ НА ПРОЦЕССЫ ОБРАЗОВАНИЯ И ДВИЖЕНИЯ ДОННЫХ ВОЛН

А. Г. Петров, И. И. Потапов*

Институт проблем механики им. А. Ю. Ишлинского РАН, 119526 Москва

* Вычислительный центр ДВО РАН, 680000 Хабаровск

E-mails: petrov@ipmnet.ru, potapovII@rambler.ru

Сформулирована задача развития линейных возмущений песчаного дна в канале прямоугольной формы с тяжелой несжимаемой жидкостью. Турбулентная вязкость потока определена как функция коэффициента гидравлического сопротивления, а уравнения гидродинамики записаны в длинноволновом приближении Буссинеска. В выражении для гидростатического давления учтена поправка к приближению Буссинеска, которая изменяет расход переносимых наносов. Задача развития донных возмущений решена с учетом уточненной формулы расхода наносов, что позволило получить аналитические выражения для скорости движения донных возмущений и длину волны максимально быстро растущих донных возмущений при малых числах Фруда.

Ключевые слова: донные возмущения, турбулентный поток жидкости, перенос наносов.

Введение. Анализ устойчивости донной поверхности, проведенный в работах [1, 2] с использованием оригинальной формулы расхода влекомых наносов, позволил получить зависимости, определяющие влияние турбулентной вязкости и числа Фруда потока на скорости увеличения и волновые числа максимально быстро растущих донных возмущений. Данные решения получены в предположении, что турбулентная вязкость потока и коэффициент гидравлического сопротивления потоку являются независимыми параметрами. При этом соответствие между расчетными и экспериментальными данными позволяет сделать вывод о слабом влиянии гидравлического сопротивления потоку на его донную устойчивость, а также получить аномально большие значения турбулентной вязкости потока, играющей важную роль при определении длины донных волн [1, 2].

В настоящей работе рассматривается задача устойчивости песчаного дна реки, взаимодействующего с турбулентным потоком жидкости. Для определения осредненного по глубине поля скорости жидкости принимаются линеаризованные уравнения Буссинеска [3], в которых учитываются зависимость среднего уклона русла от массовых сил и квадратичный закон сопротивления. Кроме того, в уравнения входит вязкое напряжение с коэффициентом турбулентного обмена. Поскольку профиль дна изменяется медленно, используются стационарные уравнения движения.

Работа выполнена в рамках Федеральной целевой программы “Научные и научно-педагогические кадры инновационной России” (государственный контракт № 02.740.11.0626), а также при финансовой поддержке Российского фонда фундаментальных исследований (код проекта 12-01-98518-р восток(а)) и фонда ДВО РАН (код проекта 12-III-A-03-034).

© Петров А. Г., Потапов И. И., 2013

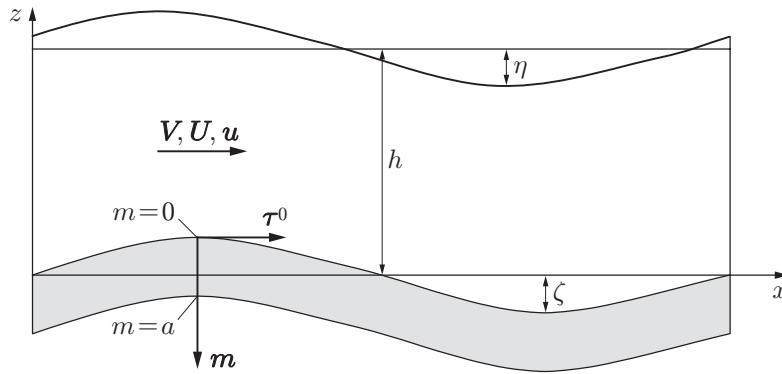


Рис. 1. Схема задачи

Особенностями данной формулировки задачи являются определение турбулентной вязкости потока $\nu_t = \nu_t(\lambda)$ как функции гидравлического сопротивления λ и учет влияния возмущений свободной поверхности потока и поправки в выражении для гидростатического давления на движение наносов.

1. Вывод уравнений гидродинамики. Рассматривается течение тяжелой несжимаемой жидкости в канале (рис. 1). Ось канала x имеет малый постоянный уклон J к горизонту. Характеристики течения зависят только от координаты x и координаты z , направленной вверх перпендикулярно оси x . Уравнения установившегося движения жидкости имеют вид

$$\begin{aligned} U_x \frac{\partial U_x}{\partial x} + U_z \frac{\partial U_x}{\partial z} + \frac{1}{\rho_w} \frac{\partial P}{\partial x} &= F_x, \\ U_x \frac{\partial U_z}{\partial x} + U_z \frac{\partial U_z}{\partial z} + \frac{1}{\rho_w} \frac{\partial P}{\partial z} + g &= F_z, \\ \frac{\partial U_x}{\partial x} + \frac{\partial U_z}{\partial z} &= 0. \end{aligned} \quad (1.1)$$

Здесь U_x , U_z — горизонтальная и вертикальная компоненты скорости жидкости; P — давление жидкости; ρ_w — плотность воды; F_x , F_z — диссипативные силы.

В идеальной жидкости $F_x = 0$, $F_z = 0$. Свободная $z = h + \eta(x)$ и донная $z = \zeta(x)$ поверхности представляют собой линии тока, давление на свободной поверхности является постоянным. Следовательно, граничные условия имеют вид

$$U_z(x, h + \eta) = U_x \frac{\partial \eta}{\partial x}, \quad U_z(x, \zeta) = U_x \frac{\partial \zeta}{\partial x}, \quad P(x, h + \eta) = P_a, \quad (1.2)$$

где P_a — атмосферное давление на свободной поверхности потока.

2. Линеаризация и приближение Буссинеска в идеальной жидкости. Для канала прямоугольной формы ($\eta = \zeta = 0$) решением задачи (1.1), (1.2) является течение с постоянной скоростью $U_x = U$, $U_z = 0$, давление меняется по гидростатическому закону $P = P_a - \rho_w g(z - h)$. Это течение примем в качестве порождающего решения, а течение со скоростью $U_x = U + u$, $U_z = w$ при $P = P_a - \rho_w g(z - h - \eta) + p$ в канале с изменяющейся формой русла будем считать возмущенным течением. Линейная по переменным η , ζ , u , w , p задача записывается в виде

$$U \frac{\partial u}{\partial x} + \frac{1}{\rho_w} \frac{\partial (p + \rho_w g \eta)}{\partial x} = 0, \quad U \frac{\partial w}{\partial x} + \frac{1}{\rho_w} \frac{\partial p}{\partial z} = 0, \quad \frac{\partial u}{\partial x} + \frac{\partial w}{\partial z} = 0; \quad (2.1)$$

$$w(x, h + \eta) = U \frac{\partial \eta}{\partial x}, \quad w(x, \zeta) = U \frac{\partial \zeta}{\partial x}, \quad p(x, h + \eta) = 0. \quad (2.2)$$

В длинноволновом приближении функция w , являющаяся линейной функцией z , удовлетворяющей условиям (2.2), имеет вид

$$w = U \frac{\partial}{\partial x} \left((\eta - \zeta) \frac{z}{h} + \zeta \right).$$

Следовательно,

$$\frac{\partial w}{\partial z} = \frac{U}{h} \frac{\partial}{\partial x} (\eta - \zeta); \quad (2.3)$$

$$\frac{\partial w}{\partial x} = U \frac{\partial^2}{\partial x^2} \left((\eta - \zeta) \frac{z}{h} + \zeta \right), \quad \frac{\partial^2 w}{\partial x^2} = U \frac{\partial^3}{\partial x^3} \left((\eta - \zeta) \frac{z}{h} + \zeta \right).$$

Подставляя это решение во второе уравнение (2.1), получаем

$$\frac{1}{\rho_w} \frac{\partial p}{\partial z} = -U^2 \frac{\partial^2}{\partial x^2} \left((\eta - \zeta) \frac{z}{h} + \zeta \right). \quad (2.4)$$

Интегрируя (2.4) с учетом условия (2.2) и отбрасывая нелинейные по η и ζ члены, имеем

$$\frac{p}{\rho_w} = -(z - h)U^2 \frac{\partial^2}{\partial x^2} \left((\eta - \zeta) \frac{z}{2h} + \frac{\eta + \zeta}{2} \right). \quad (2.5)$$

С помощью формул $\langle z^2 \rangle = h^2/3$, $\langle z \rangle = h/2$ найдем среднее по глубине давление p :

$$\frac{\langle p \rangle}{\rho_w} = \frac{1}{6} hU^2 \frac{\partial^2 (2\eta + \zeta)}{\partial x^2}. \quad (2.6)$$

С помощью (2.6) уравнения (2.1) можно представить в виде

$$U \frac{\partial u}{\partial x} + g \frac{\partial \eta}{\partial x} + \frac{hU^2}{6} \frac{\partial^3 (2\eta + \zeta)}{\partial x^3} = 0, \quad \frac{\partial u}{\partial x} + \frac{U}{h} \frac{\partial}{\partial x} (\eta - \zeta) = 0. \quad (2.7)$$

Интегрируя последнее уравнение по переменной x , получаем уравнение сохранения расхода

$$u + \frac{U}{h} (\eta - \zeta) = 0. \quad (2.8)$$

3. Турбулентное трение. В случае турбулентного течения в канале в правой части уравнений (1.1) следует учесть напряжения трения и проекцию силу тяжести на наклонную ось x :

$$F_x = \frac{\partial \tau_{xx}}{\partial x} + \frac{\partial \tau_{xz}}{\partial z} + gJ, \quad F_z = \frac{\partial \tau_{zx}}{\partial x} + \frac{\partial \tau_{zz}}{\partial z}.$$

Для канала с медленно меняющимся дном $z = \zeta(x)$ в качестве реологических соотношений, связывающих напряжения трения и скорость течения, примем уравнения пути смешения Прандтля

$$\begin{aligned} \tau_{xx} &= 2\nu_t \frac{\partial U_x}{\partial x}, \quad \tau_{zx} = \tau_{xz} = \nu_t \left(\frac{\partial U_x}{\partial z} + \frac{\partial U_z}{\partial x} \right), \quad \tau_{zz} = 2\nu_t \frac{\partial U_z}{\partial z}; \\ \nu_t &= \varkappa^2 (z - \zeta + z_0)^2 \left| \frac{\partial U_x}{\partial z} \right|, \end{aligned} \quad (3.1)$$

где $\varkappa \approx 0,4$ — постоянная Кармана; z_0 — высота выступов шероховатости на дне. В реках высота выступов шероховатости превышает толщину ламинарного пограничного слоя, и поэтому учитывать его не требуется. В этом состоит отличие течений в каналах и реках от течения в гладких трубах.

В канале с плоским дном $\zeta = 0$ профиль скорости $U_x(z)$ не зависит от координаты x . Из уравнений

$$\frac{\partial \tau_{xz}}{\partial z} + gJ = 0, \quad \tau_{xz} = \varkappa^2(z + z_0)^2 \left(\frac{dU_x}{dz} \right)^2$$

и граничных условий $U_x(0) = 0$, $\tau_{xz}(h) = 0$ находим связь уклона J и касательного напряжения T на ровном дне, а также распределение напряжения $\tau_{xz}(z)$ и форму профиля $U_x(z)$:

$$T = gJh, \quad \tau_{xz} = T - gJz, \quad U_x(z) = \frac{\sqrt{gJ}}{\varkappa} \int_0^z \frac{\sqrt{h-y}}{z_0+y} dy. \quad (3.2)$$

В гидравлике используется закон квадратичного сопротивления: касательное напряжение на дне T пропорционально квадрату средней по глубине скорости потока:

$$T = \lambda U^2, \quad U = \bar{U}_x = \frac{1}{h} \int_0^h U_x(z) dz. \quad (3.3)$$

С помощью (3.2), (3.3) коэффициент квадратичного сопротивления можно выразить через высоту выступов шероховатости:

$$\lambda = \frac{T}{U^2} = \varkappa^2 \left(\int_0^1 d\xi \int_0^\xi \frac{\sqrt{1-\xi'}}{\xi_0 + \xi'} d\xi' \right)^{-2}, \quad \xi_0 = \frac{z_0}{h}, \quad \xi = \frac{z}{h}.$$

При $0,01 < \xi_0 < 0,10$ функцию $\lambda = \lambda(\xi_0)$ с высокой степенью точности можно описать линейной зависимостью $\lambda = 0,007 + 0,69\xi_0$.

4. Уравнения турбулентного течения в приближении Буссинеска. С учетом турбулентного трения система уравнений (2.7), (2.8) имеет вид

$$U \frac{\partial u}{\partial x} + g \frac{\partial \eta}{\partial x} + \frac{hU^2}{6} \frac{\partial^3 (2\eta + \zeta)}{\partial x^3} = \bar{F}_x, \quad u + \frac{U}{h} (\eta - \zeta) = 0,$$

где \bar{F}_x — осредненная по глубине функция F_x :

$$\bar{F}_x = \frac{1}{\eta + h - \zeta} \int_\zeta^{h+\eta} \left(\frac{\partial \tau_{xz}}{\partial z} + \frac{\partial \tau_{xx}}{\partial x} + gJ \right) dz.$$

С учетом (2.3) подынтегральные слагаемые этого выражения с точностью до линейных членов имеют вид

$$\begin{aligned} \frac{1}{\eta + h - \zeta} \int_\zeta^{h+\eta} \left(\frac{\partial \tau_{xz}}{\partial z} \right) dz &= -\frac{\lambda U_x^2}{h + \eta - \zeta} = -\frac{\lambda U^2}{h} - 2 \frac{\lambda U u}{h} + \frac{\lambda U^2}{h^2} (\eta - \zeta), \\ \frac{1}{\eta + h - \zeta} \int_\zeta^{h+\eta} \left(\frac{\partial \tau_{xx}}{\partial x} \right) dz &= \frac{1}{h} \frac{\partial}{\partial x} \int_0^h \left(2\nu_t \frac{\partial U_x}{\partial x} \right) dz = -\frac{U}{h} \frac{\partial}{\partial x} \left(2\bar{\nu}_t \frac{\partial (\eta - \zeta)}{\partial x} \right), \\ \frac{1}{\eta + h - \zeta} \int_\zeta^{h+\eta} gJ dz &= gJ. \end{aligned}$$

Суммируя последние три равенства и учитывая равенство $-\lambda U^2/h + gJ = 0$, получаем

$$\bar{F}_x = -2 \frac{\lambda U u}{h} + \frac{\lambda U^2}{h^2} (\eta - \zeta) - \frac{U}{h} \frac{\partial}{\partial x} \left(2\bar{\nu}_t \frac{\partial (\eta - \zeta)}{\partial x} \right). \quad (4.1)$$

С помощью (3.1), (3.2) выражение для турбулентной вязкости можно записать в виде

$$\nu_t(z) = \varkappa^2 (z + z_0)^2 \left| \frac{\partial U_x}{\partial z} \right| = \varkappa (z + z_0) \sqrt{gJh \left(1 - \frac{z}{h} \right)} = \varkappa (z + z_0) U \sqrt{\lambda \left(1 - \frac{z}{h} \right)}.$$

Отсюда находим осредненную по глубине турбулентную вязкость

$$\bar{\nu}_t = \frac{4\varkappa\sqrt{\lambda}}{15} hU. \quad (4.2)$$

Подставляя (4.2) в (4.1), получаем уравнения движения

$$U \frac{\partial u}{\partial x} + g \frac{\partial \eta}{\partial x} + \frac{hU^2}{6} \frac{\partial^3 (2\eta + \zeta)}{\partial x^3} = \frac{8\varkappa\sqrt{\lambda}}{15} hU \frac{\partial^2 u}{\partial x^2} - 2\lambda \frac{U}{h} u + \lambda \frac{U^2}{h^2} (\eta - \zeta), \quad (4.3)$$

$$u = -(\eta - \zeta)U/h.$$

5. Замыкание уравнений. Для замыкания системы уравнений (4.3) используется уравнение сохранения массы грунта на донной поверхности

$$(1 - \varepsilon)\rho_s \frac{\partial \zeta}{\partial t} + \frac{\partial G}{\partial x} = 0, \quad (5.1)$$

где ε — пористость неподвижной песчаной массы на дне.

Величина расхода наносов G определяется с использованием экспериментальных данных [4, 5] либо с помощью теоретической модели движения водогрунтовой смеси в тонком придонном слое [1, 2, 6, 7]. В работах [1, 2] была предложена теоретическая модель, в которой давление вычислялось из уравнений гидростатики.

Следуя [1, 2], при определении расхода наносов G для модели движения водогрунтовой смеси в тонком придонном слое в рассматриваемом приближении Буссинеска необходимо учесть дополнительное слагаемое p (2.5), которое при $z = \zeta$ (на донной поверхности) принимает вид

$$p_\zeta = \frac{\rho_w h U^2}{2} \frac{\partial^2 (\eta + \zeta)}{\partial x^2}. \quad (5.2)$$

С учетом (5.2) гидростатическое давление жидкости вблизи дна можно определить по формуле

$$P_0 = p_a - \rho_w g (p_0 + \zeta - h - \eta), \quad (5.3)$$

где

$$p_0 = \frac{h^2 \text{Fr}}{2} \frac{\partial^2 (\eta + \zeta)}{\partial x^2},$$

$\text{Fr} = U^2/(gh)$ — число Фруда для невозмущенного потока. Наличие слагаемого p_0 в выражении (5.3) приводит к изменению вычисленной в [1, 2] величины расхода наносов.

5.1. *Система уравнений.* Введем координату x' в плоскости, касательной к донной поверхности $z = \zeta(x)$, и координату m , направленную вниз перпендикулярно касательной плоскости с началом $m = 0$ на границе раздела областей переносимых и взвешенных

наносов. Для давления p , плотности ρ и вектора касательного напряжения $\boldsymbol{\tau}$ запишем систему уравнений приближения тонкого слоя

$$\begin{aligned} \rho &= f\rho_s + (1-f)\rho_w, \\ \frac{\partial P}{\partial m} &= \rho g, \quad \frac{\partial(P + \rho g \zeta)}{\partial x'} + \frac{\partial \boldsymbol{\tau}}{\partial m} = 0, \end{aligned} \quad (5.4)$$

где f — концентрация твердых частиц в жидкости. Согласно экспериментальным данным [6] $f \approx 0,1$.

5.2. *Реологические уравнения.* Трение водогрунтовой смеси складывается из трения водной и песчаной фаз. Абсолютная величина напряжения τ представляет собой сумму касательных напряжений водной τ_w и песчаной τ_s фаз. Направление напряжения определяется единичным вектором $\mathbf{e} = (\partial v / \partial m) / |\partial v / \partial m|$. Для τ_w и τ_s примем закон Прандтля для турбулентного течения и закон сухого трения Кулона. Таким образом, имеем

$$\begin{aligned} \boldsymbol{\tau} &= (\tau_w + \tau_s)\mathbf{e}, \quad \tau_w = \rho_w \kappa^2 (a - m)^2 \left(\frac{\partial v}{\partial m} \right)^2, \\ \tau_s &= p_s \operatorname{tg} \varphi, \quad p_s = \rho_w g s m, \quad s = f\gamma, \quad \gamma = (\rho_s - \rho_w) / \rho_w. \end{aligned} \quad (5.5)$$

5.3. *Крайевые условия.* В случае движения твердой фазы существуют область взвешенных частиц и область переносимых частиц [8, 9]. В первой области твердые частицы движутся, не соприкасаясь друг с другом, и сухое трение равно нулю. В области движения переносимых частиц справедливы уравнения (5.4), (5.5). Из условия непрерывности давления и касательного напряжения на границе раздела областей взвешенной и переносимой твердых фаз следует

$$m = 0: \quad \tau_s = 0, \quad \tau_w = \lambda \rho_w U_x^2, \quad P = P_0. \quad (5.6)$$

Тогда $m = a$ соответствует границе раздела областей движущейся смеси и неподвижного грунта. При малой дисперсности неподвижного грунта скорость фильтрации в нем можно принять равной нулю. В области скольжения $m < a$ сухое трение удовлетворяет закону Кулона $\tau_s = p_s \operatorname{tg} \varphi$, а трение смеси согласно (5.5) равно

$$\tau = p_s \operatorname{tg} \varphi + \tau_w. \quad (5.7)$$

В неподвижной области $m > a$ трение покоя должно быть меньше порогового значения: $\tau_s < p_s(1 + \Delta) \operatorname{tg} \varphi$ (величина Δ представляет собой разность значений трения покоя и трения скольжения и не превышает 0,1). В неподвижной жидкости трение равно нулю. Для касательного напряжения смеси получаем неравенство

$$\tau < p_s(1 + \Delta) \operatorname{tg} \varphi. \quad (5.8)$$

Обозначим через τ_- и τ_+ предельные при $m \rightarrow a$ значения τ , определяемые по формулам (5.7), (5.8) соответственно. Из условия непрерывности $\tau_+ - \tau_- = 0$ следует неравенство

$$p_s \Delta \operatorname{tg} \varphi > \tau_w > 0.$$

Величину скачка Δ будем полагать равной нулю. Тогда условия на границе раздела областей движущейся смеси и неподвижного грунта имеют вид

$$m = a: \quad \tau_w(a) = 0, \quad v(a) = 0, \quad \tau(a) = s \rho_w g a \operatorname{tg} \varphi. \quad (5.9)$$

Для вычисления расхода G из первого уравнения (5.4) находим давление смеси и градиент, входящий во второе уравнение (5.4):

$$P = P_0 + \rho_w g m, \quad \frac{\partial}{\partial x} (P + \rho g \zeta) = \frac{\partial}{\partial x} (\eta + s \zeta + p_0) \rho_w g.$$

Градиент не зависит от m , поэтому решение второго уравнения (5.4) линейно по m :

$$\tau(m) = \tau(0) + m \rho_w g \frac{\partial}{\partial x} (\eta + s \zeta + p_0).$$

Отсюда с учетом граничных условий (5.6), (5.9) находим

$$\frac{\partial \tau}{\partial m} = \frac{\tau(a) - \tau(0)}{a} = \frac{s \rho_w g a \operatorname{tg} \varphi - \tau(0)}{a}.$$

Подставляя найденные выражения во второе уравнение (5.4), получаем уравнение для толщины слоя переносимых наносов a

$$\tau(0) = a s \rho_w g \operatorname{tg} \varphi \left(1 + \operatorname{ctg} \varphi \left(\frac{\partial \zeta}{\partial x} + \frac{1}{s} \frac{\partial (\eta + p_0)}{\partial x} \right) \right),$$

из которого с учетом линеаризации (5.6) $\tau(0) = \rho_w \lambda U^2 (1 + 2u/U)$ определяем

$$a = a_0 \left(1 + \frac{2u}{U} \right) / \left[1 + \operatorname{ctg} \varphi \left(\frac{\partial \zeta}{\partial x} + \frac{1}{s} \frac{\partial (\eta + p_0)}{\partial x} \right) \right]. \quad (5.10)$$

Здесь $a_0 = (\lambda h / \operatorname{tg} \varphi) \operatorname{Fr} / s$.

Линеаризуя (5.10), получаем

$$a = a_0 \left(1 + \frac{2u}{U} - \operatorname{ctg} \varphi \left(\frac{\partial \zeta}{\partial x} + \frac{1}{s} \frac{\partial (\eta + p_0)}{\partial x} \right) \right). \quad (5.11)$$

Из линейности функции $\tau_w(m)$ и граничных условий $\tau_w(0) = \lambda \rho_w U^2 (1 + 2u/U_0)$ и $\tau_w(a) = 0$ следует

$$\tau_w = \lambda \rho_w U^2 (1 + 2u/U) (1 - m/a).$$

Из этой формулы находим

$$-\frac{\partial v}{\partial m} = \frac{\sqrt{\tau_w / \rho_w}}{\varkappa(a - m)} = \frac{\sqrt{\lambda}}{\varkappa} \frac{U + u}{a \sqrt{1 - m/a}}.$$

Расход твердых частиц в слое

$$G = \rho_s f \int_0^a v(m) dm = -\rho_s f \int_0^a m \frac{\partial v(m)}{\partial m} dm$$

определяется путем интегрирования по частям. Интеграл от функции m вычисляется точно:

$$\int_0^a \frac{m dm}{a \sqrt{1 - m/a}} = \frac{4}{3} a.$$

Отсюда с учетом (5.11) получаем

$$G = G_0 \left(1 + \frac{3u}{U} - \operatorname{ctg} \varphi \left(\frac{\partial \zeta}{\partial x} + \frac{1}{s} \frac{\partial (\eta + p_0)}{\partial x} \right) \right), \quad (5.12)$$

где

$$G_0 = \frac{4}{3} \rho_s \sqrt{gh} h \frac{(\lambda \text{Fr})^{3/2}}{\varkappa \gamma g \text{tg} \varphi}.$$

С использованием (5.12) уравнение для отметки дна (5.1) принимает вид

$$\frac{\partial \zeta}{\partial t} = C_0 \text{Fr}^{3/2} \sqrt{gh} h \left(-\frac{3 \text{tg} \varphi}{U} \frac{\partial u}{\partial x} + \frac{\partial^2 \zeta}{\partial x^2} + \frac{1}{s} \frac{\partial^2 \eta}{\partial x^2} + \frac{\text{Fr}}{s} \frac{h^2}{2} \frac{\partial^4 (\eta + \zeta)}{\partial x^4} \right), \quad (5.13)$$

где

$$C_0 = \frac{4}{3} \frac{\lambda^{3/2}}{(1 - \varepsilon) \varkappa \gamma g \text{tg}^2 \varphi}. \quad (5.14)$$

6. Линейная задача развития донных возмущений. Исключив u из уравнений (4.3), (5.13), получаем систему двух уравнений для η и ζ

$$\frac{\partial \zeta}{\partial x} + \frac{1 - \text{Fr}}{\text{Fr}} \frac{\partial \eta}{\partial x} + \frac{h^2}{6} \frac{\partial^3 (2\eta + \zeta)}{\partial x^3} + \frac{8\varkappa \sqrt{\lambda}}{15} h \frac{\partial^2 (\eta - \zeta)}{\partial x^2} - 3\lambda \frac{\eta - \zeta}{h} = 0; \quad (6.1)$$

$$\frac{\partial \zeta}{\partial t} - C_0 \sqrt{gh} h \text{Fr}^{3/2} \left(\frac{3 \text{tg} \varphi}{h} \frac{\partial (\eta - \zeta)}{\partial x} + \frac{\partial^2 \zeta}{\partial x^2} + \frac{1}{s} \frac{\partial^2 \eta}{\partial x^2} + \frac{\text{Fr}}{s} \frac{h^2}{2} \frac{\partial^4 (\eta + \zeta)}{\partial x^4} \right) = 0. \quad (6.2)$$

Возмущения донной и свободной поверхностей потока ζ , η выберем в виде

$$\zeta = \zeta_0 h \exp(\sigma t + ikx), \quad \eta = \eta_0 h \exp(\sigma t + ikh), \quad (6.3)$$

где ζ_0 , η_0 — амплитудные коэффициенты; k — волновое число; σ — коэффициент амплитудного роста. Выражения для безразмерных волнового числа X и коэффициента амплитудного роста Σ имеют вид

$$X = hk, \quad \Sigma = \frac{2s\sigma}{C_0} \sqrt{\frac{h}{g \text{Fr}}}. \quad (6.4)$$

Подставляя (6.3), (6.4) в уравнения (6.1), (6.2), находим

$$A_{11}\zeta_0 + A_{12}\eta_0 = 0, \quad A_{21}\zeta_0 + A_{22}\eta_0 = 0, \quad (6.5)$$

где

$$A_{11} = \Sigma - \text{Fr}^2 X^4 + 6sX(3i \text{tg} \varphi + X) \text{Fr}, \quad A_{12} = 6X \text{Fr} (X - 3is \text{tg} \varphi) - \text{Fr}^2 X^4,$$

$$A_{21} = (6iX + 8\varkappa \sqrt{\lambda} X^2/5 - iX^3 + 18\lambda) \text{Fr}, \quad A_{22} = 6iX - (6iX + 18\lambda + 2iX^3 + 8\varkappa \sqrt{\lambda} X^2/5) \text{Fr}.$$

Приравнявая к нулю определитель однородной системы (6.5), получаем кубическое уравнение

$$\Sigma = 3 \text{Fr} X^2 (As + B)/Z, \quad (6.6)$$

где

$$A = -10i \text{Fr} X^3 + (45 \text{tg} \varphi - 8\sqrt{\lambda} \varkappa) \text{Fr} X^2 + 30i(1 - \text{Fr})X - 90(\lambda \text{Fr} - \text{tg} \varphi),$$

$$B = (4\varkappa \sqrt{\lambda} + 15i)X^3 \text{Fr}^2 + (45 \text{Fr}^2 \lambda - 8\sqrt{\lambda} \varkappa \text{Fr})X^2 - 30i \text{Fr} X - 90\lambda \text{Fr},$$

$$Z = \lambda \text{Fr}^2 (45\sqrt{\lambda} + 4\varkappa X^2)^2 + 25X^2 (\text{Fr} X^2 - 3(1 - \text{Fr}))^2.$$

Выражение (6.6) для Σ позволяет получить следующие важные результаты:

— без использования дополнительных гипотез определить области формирования и смыва донных форм при различных значениях физико-механических характеристик донных материалов, определить области распространения волн на донной поверхности вниз по потоку (дюны) или против потока (антидюны) в зависимости от значений числа Фруда и волнового числа X ;

— определить характерные длины волн и скорости движения донных возмущений.

7. Донные формы. Следуя [4], будем полагать, что реализуются донные волны с волновыми числами, для которых скорость роста амплитуды $\text{Re}(\Sigma)$ имеет максимум, определяемый уравнением

$$\frac{\partial \text{Re}(\Sigma)}{\partial X} = F(X) = 0. \tag{7.1}$$

При малых волновых числах $\lambda < 10^{-4}$ решение системы (7.1) упрощается:

$$X = \sqrt{3(1 - \text{Fr})/\text{Fr}}. \tag{7.2}$$

Система (7.1) решалась численно с параметрами $s = 0,1$, $\lambda = 0,01$, $\varkappa = 0,4$, $\text{tg } \varphi = 0,5$, $h = 0,07$ м при числах Фруда в диапазоне $s \leq \text{Fr} \leq 1,0$. Полученные зависимости $X(\text{Fr})$ и $\Sigma(\text{Fr})$ представлены на рис. 2, 3. На рис. 2 показаны зависимость $X(\text{Fr})$, полученная в результате численного решения уравнения (7.1) (кривая 1), и аналитическая зависимость $X(\text{Fr})$ (кривая 2) [1], полученная для турбулентного потока с подобранной фиксированной безразмерной турбулентной вязкостью потока ($\nu_t = 0,215$):

$$X = \sqrt{(1 - \text{Fr})P - (1 - \text{Fr})^2/(\sqrt{1 + s} \nu_t \text{Fr})}.$$

Здесь

$$P = \sqrt{(1 + s)(1 - (1 + 3\nu_t s \text{tg } \varphi) \text{Fr})}.$$

Проведено сравнение зависимостей $X(\text{Fr})$ с экспериментальными данными П. Хаммана [8] и Т. Н. Казмирук [10].

Результаты сравнения выражений для волновых чисел, полученных в рамках предложенной модели и в рамках модели [1], позволяют сделать следующие выводы. Результаты расчетов по модели с постоянным специально подобранном значением турбулентной вязкости лучше согласуются с экспериментальными данными, особенно в диапазоне малых

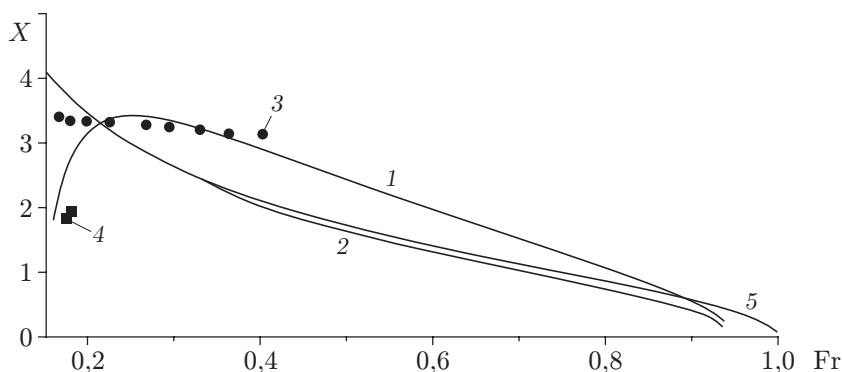


Рис. 2. Зависимость волнового числа X от числа Фруда:

1 — результаты численного решения уравнения (7.1); 2 — аналитическая зависимость [1]; 3 — экспериментальные данные [8]; 4 — экспериментальные данные [10]; 5 — асимптотическое решение (7.2)

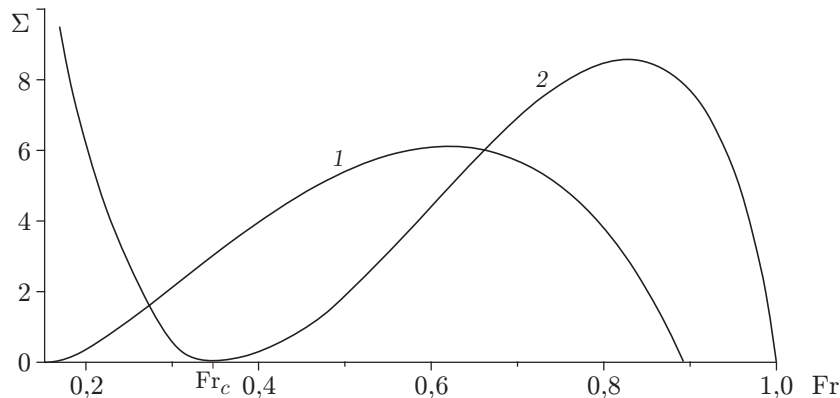


Рис. 3. Зависимость коэффициента амплитудного роста Σ от числа Фруда:
 1 — численное решение рассматриваемой задачи; 2 — численное решение задачи при $\nu_t = 0,215$ [1] (значения Σ уменьшены в 100 раз)

чисел Фруда $s < Fr < 2s$. Однако преимуществом предлагаемой модели является отсутствие в ней подбираемых эмпирических параметров. Существенное различие с экспериментальными данными в интервале малых чисел Фруда $s < Fr < 2s$ обусловлено тем, что в использованном для гидродинамической модели приближении Буссинеска отсутствует механизм подавления коротковолновых возмущений.

Основной особенностью гидродинамической модели Буссинеска является наличие зоны минимального роста донных волн при числах Фруда, близких к $Fr_c = 1/3$. Заметим, что в предложенной модели параметры λ , \varkappa , $\text{tg } \varphi$ оказывают слабое влияние на значения волнового числа $X(Fr)$.

Очевидно, что для дальнейшего уточнения предлагаемой модели необходимо выполнить уточнение гидродинамической модели процесса.

Используя соотношение $X = 2\pi h/L$, из (7.2) найдем асимптотическую зависимость длины максимально быстро растущей донной волны L от числа Фруда

$$L = 2\pi h \sqrt{\frac{Fr}{3(1-Fr)}} = \frac{2\pi U}{\sqrt{3(1-Fr)}} \sqrt{\frac{h}{g}}. \quad (7.3)$$

При малых числах Фруда формула (7.3) с точностью до константы согласуется с формулой Шуляка [8], полученной с использованием теории размерностей:

$$L = C_s \left(\frac{\gamma g d^3}{\nu^2} \right)^{0,1} U \sqrt{\frac{h}{g}}.$$

Здесь C_s — экспериментально определяемый параметр; d — диаметр частиц; ν — вязкость жидкости.

8. Определение скорости движения донных возмущений. Скорость движения донных возмущений определяется по формуле

$$W = -\text{Im}(\sigma)h/X.$$

Используя замену $\text{Im}(\sigma) = [C_0 \text{Im}(\Sigma)/(2s)]\sqrt{g Fr/h}$, разложив полученное выражение в ряд по числу Фруда Fr и отбросив члены выше второго порядка, с учетом (5.14) получаем зависимость, определяющую скорость движения донных возмущений:

$$W = \frac{4\lambda^{3/2}}{\gamma \varkappa (1-\varepsilon) \text{tg } \varphi} U Fr. \quad (8.1)$$

Асимптотическая формула (8.1), справедливая при значениях скорости, существенно отличающихся от скорости трогания, совпадает с известной формулой Пушкарева [11]

$$W = 0,0188U Fr, \quad (8.2)$$

результаты расчетов по которой согласуются с экспериментальными данными [12] при $4\lambda^{3/2}/[\gamma\kappa(1-\varepsilon)\operatorname{tg}\varphi] = 0,0188$. Данное равенство выполняется при средних значениях физико-механических параметров донного материала $\operatorname{tg}\varphi = 0,5$, $\gamma = 1$, $\varepsilon = 0,4$, $\kappa = 0,4$, $\lambda = 0,0068$. Однако в реальных потоках значения физико-механических параметров (которые часто даже не фиксируются в экспериментах) могут существенно меняться, что приводит к значительным отклонениям от эмпирической зависимости (8.2). Таким образом, полученная асимптотическая формула (8.1) обобщает и уточняет известную эмпирическую формулу, что подтверждает правильность сформулированной математической модели.

Заключение. В работе сформулирована одномерная задача русловой устойчивости для песчаного дна канала прямоугольной формы относительно одномерных по пространству возмущений, не содержащая феноменологических параметров. Задача устойчивости русла решена с учетом уточненной формулы расхода наносов и зависимости турбулентной вязкости потока от гидравлического сопротивления. Для уточнения уравнения удельного расхода переносимых наносов учтено влияние возмущений свободной поверхности и поправки в выражении для гидростатического давления на перенос наносов.

Решение задачи устойчивости для линеаризованной системы уравнений позволило получить следующие важные результаты. Без использования дополнительных гипотез и феноменологических параметров в модели получены аналитические решения, позволяющие определить области формирования и смыва донных форм при различных значениях физико-механических характеристик донных материалов, согласующихся с экспериментальными данными П. Хаммана [8] и Т. Н. Казмирук [10].

Анализ полученного аналитического решения, определяющего скорость движения донных возмущений, показал, что результаты расчетов, полученные с учетом первого члена ряда в асимптотической формуле для скорости при малых числах Фруда, хорошо согласуются с результатами расчетов по аналогичной формуле для вязкой модели [1] и по известной эмпирической формуле Пушкарева. Таким образом, получено подтверждение правильности сформулированной математической модели и найденного аналитического решения.

ЛИТЕРАТУРА

1. **Петров А. Г., Потапов И. И.** Постановка и решение задачи об устойчивости несвязного дна канала // ПМТФ. 2010. Т. 51, № 1. С. 62–74.
2. **Петров А. Г., Потапов И. И.** О развитии возмущений песчаного дна канала // Докл. АН. 2010. Т. 431, № 2. С. 191–195.
3. **Вольцингер Н. Е.** Длинноволновая динамика прибрежной зоны / Н. Е. Вольцингер, К. А. Клеваный, Е. Н. Пелиновский. Л.: Гидрометеоиздат, 1989.
4. **Гришанин К. В.** Устойчивость русел рек и каналов. Л.: Гидрометеоиздат, 1974.
5. **Гришанин К. В.** Гидравлическое сопротивление естественных русел. СПб.: Гидрометеоиздат, 1992.
6. **Петров П. Г.** Движение сыпучей среды в придонном слое жидкости // ПМТФ. 1991. № 5. С. 72–75.
7. **Петров А. Г., Петров П. Г.** Вектор расходов наносов в турбулентном потоке над размываемым дном // ПМТФ. 2000. Т. 41, № 2. С. 102–112.

8. Шуляк Б. А. Физика волн на поверхности сыпучей среды и жидкости. М.: Наука, 1971.
9. Гришанин К. В. Динамика русловых потоков. Л.: Гидрометеиздат, 1969.
10. Казмирук Т. Н. Некоторые особенности транспорта речных наносов открытым неустановившимся потоком. 1. Постановка задачи и методика исследований // Метеорология и гидрология. 2000. № 12. С. 60–70.
11. Корчоха Ю. М. Исследования грядового движения наносов на р. Поломети // Тр. Гос. гидрол. ин-та. 1968. Вып. 161. С. 98–122.
12. Пушкарев В. Ф. Движение влекомых наносов // Тр. Гос. гидрол. ин-та. 1948. Вып. 8. С. 93–110.

*Поступила в редакцию 11/XI 2011 г.,
в окончательном варианте — 5/V 2012 г.*
